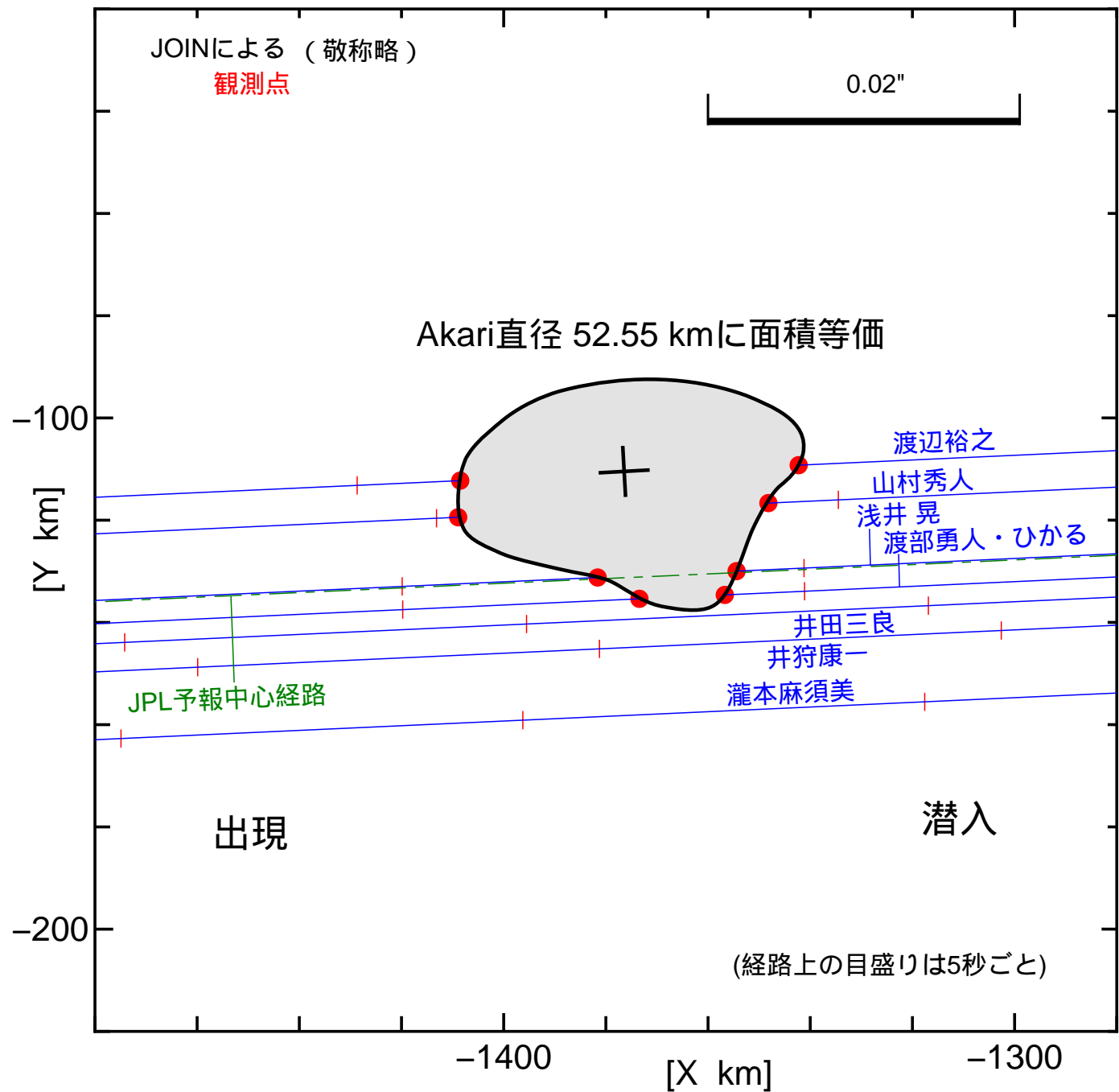


図1 トロヤ群(2759)Idomeneus の食(2023年12月24日UT)



(1437) Diomedes

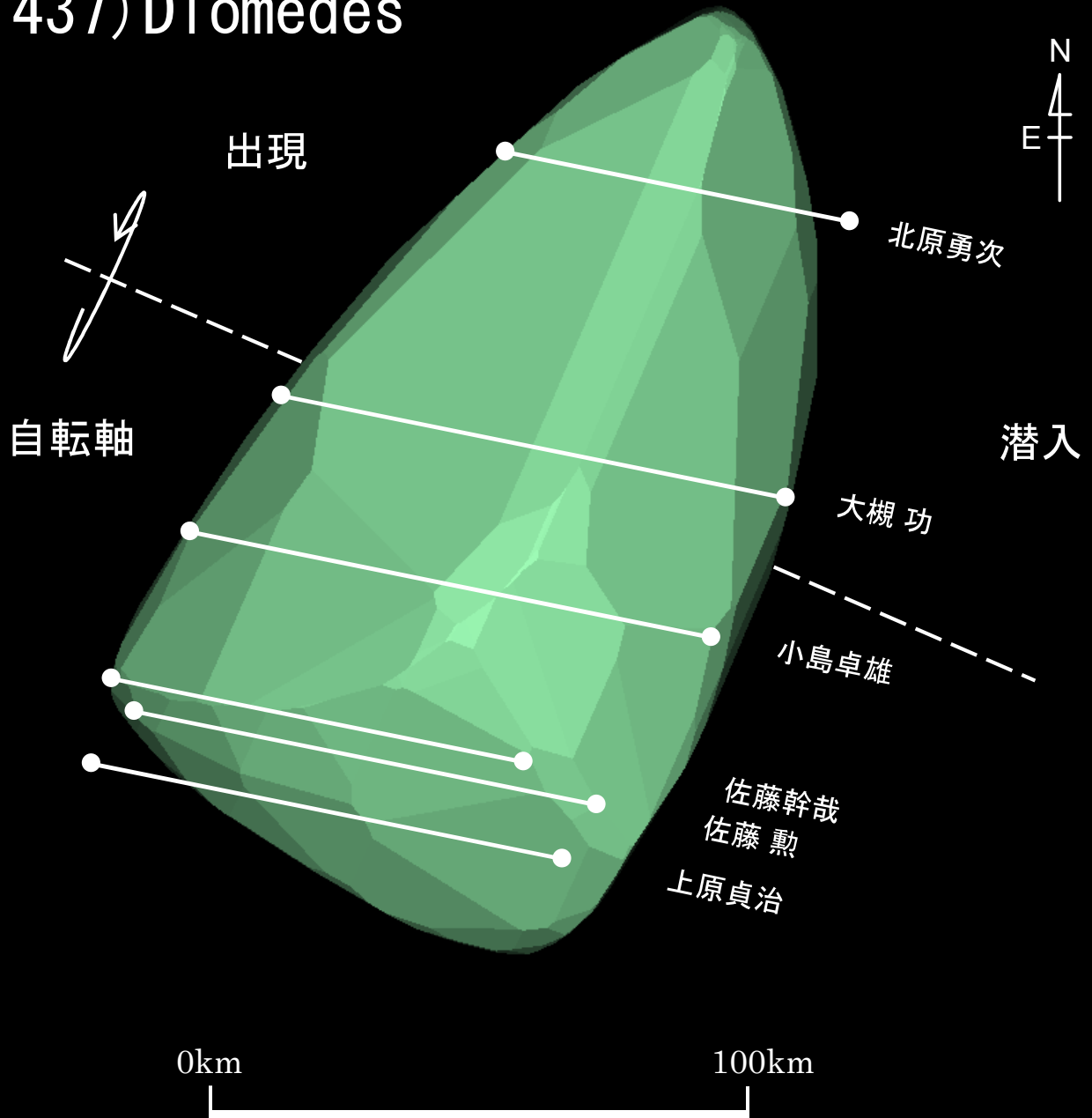
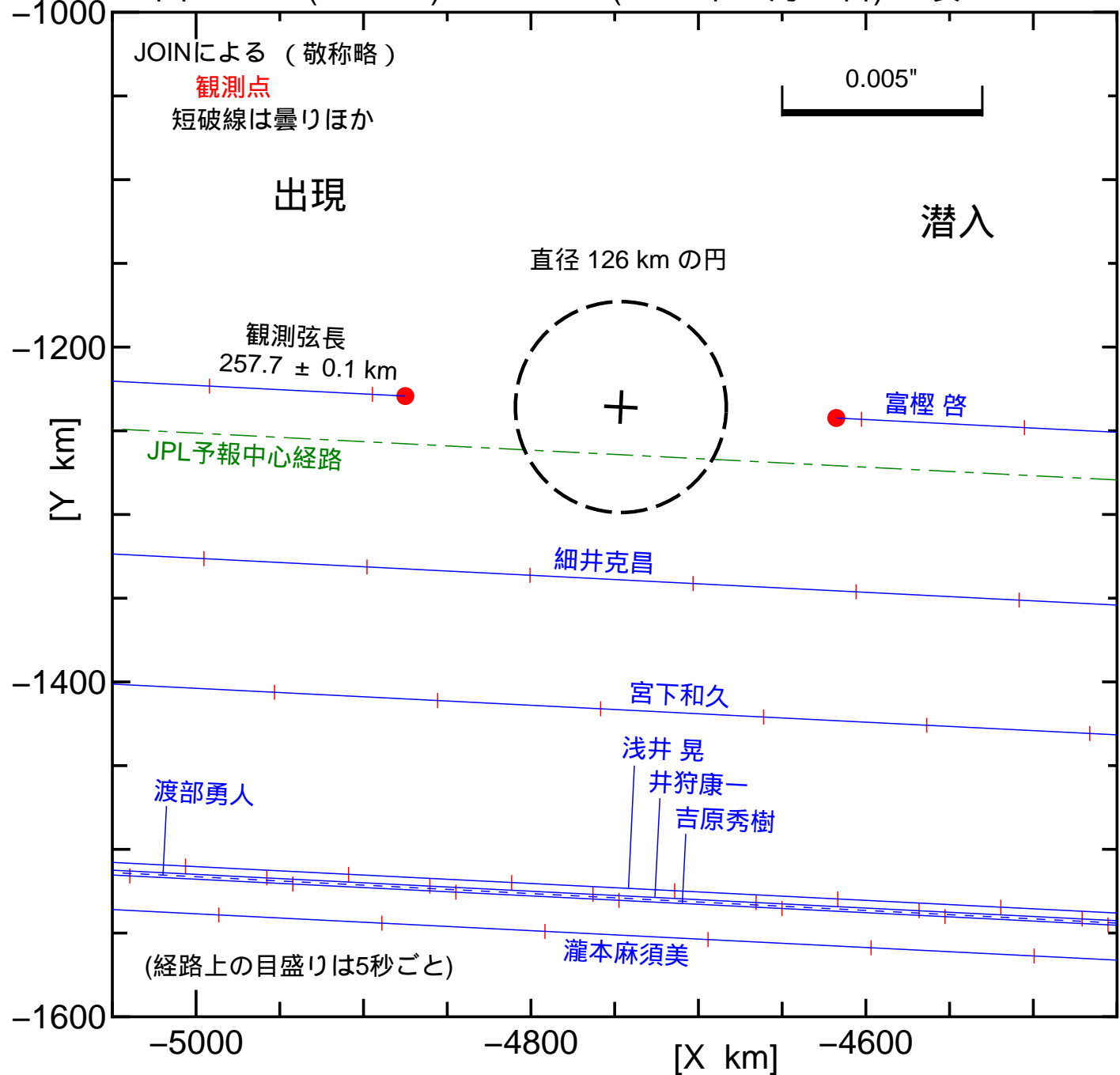


図2 (1437) Diomedes 1997年11月7日 9h29m54s UT DAMIT Model 4215 ($\lambda = 150$, $\beta = +5$)
 $P = 66^\circ$, $\beta_e = +1^\circ$, $\lambda_e = -109^\circ$, Scale Factor 1:99.4, $k = 0.998$, $B = 8.0^\circ$

図3 TNO (535168)2014XU40 (2023年11月14日) の食



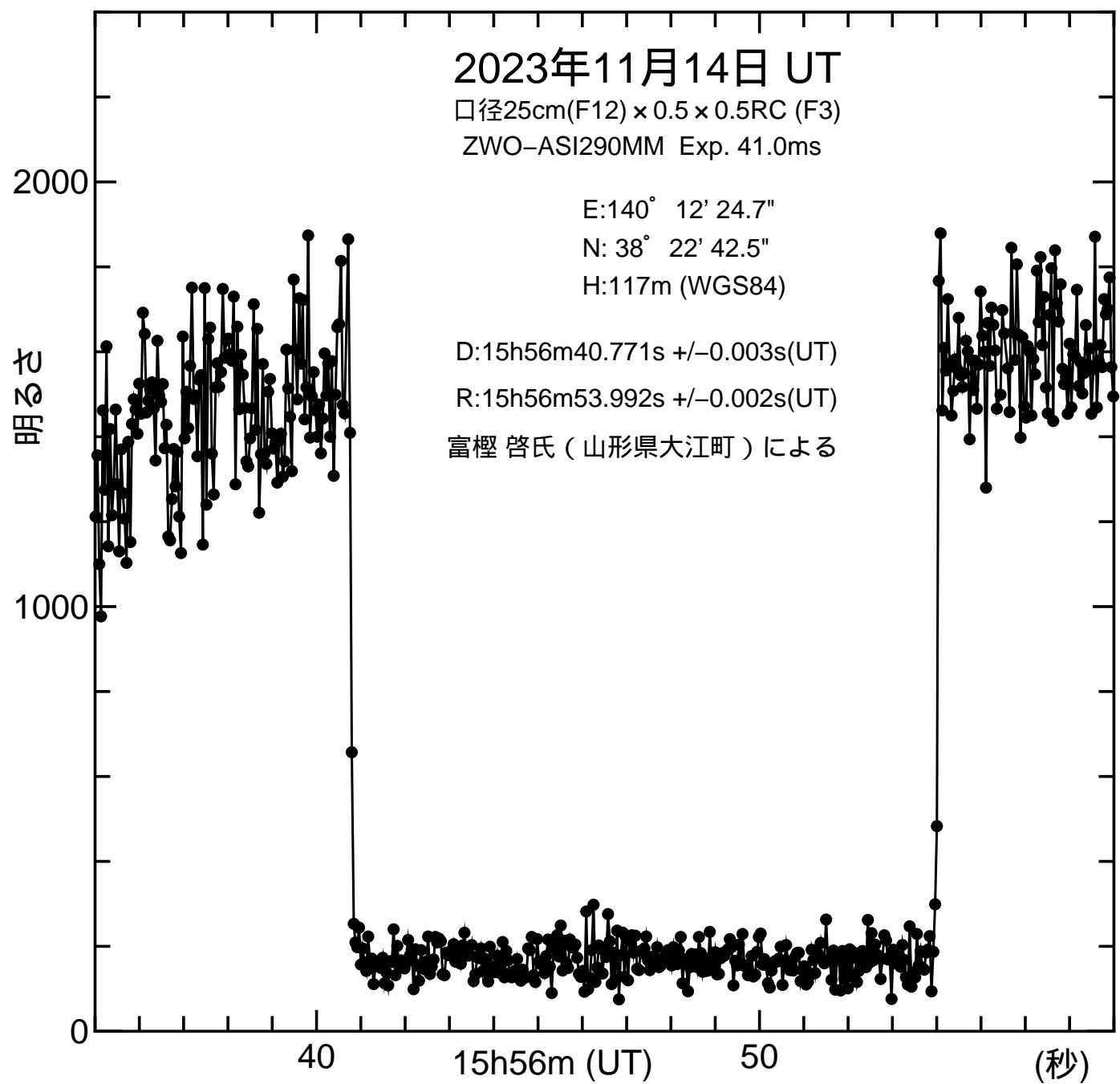


図4 2014 XU40の食・減光と復光の様子

(554) Peraga

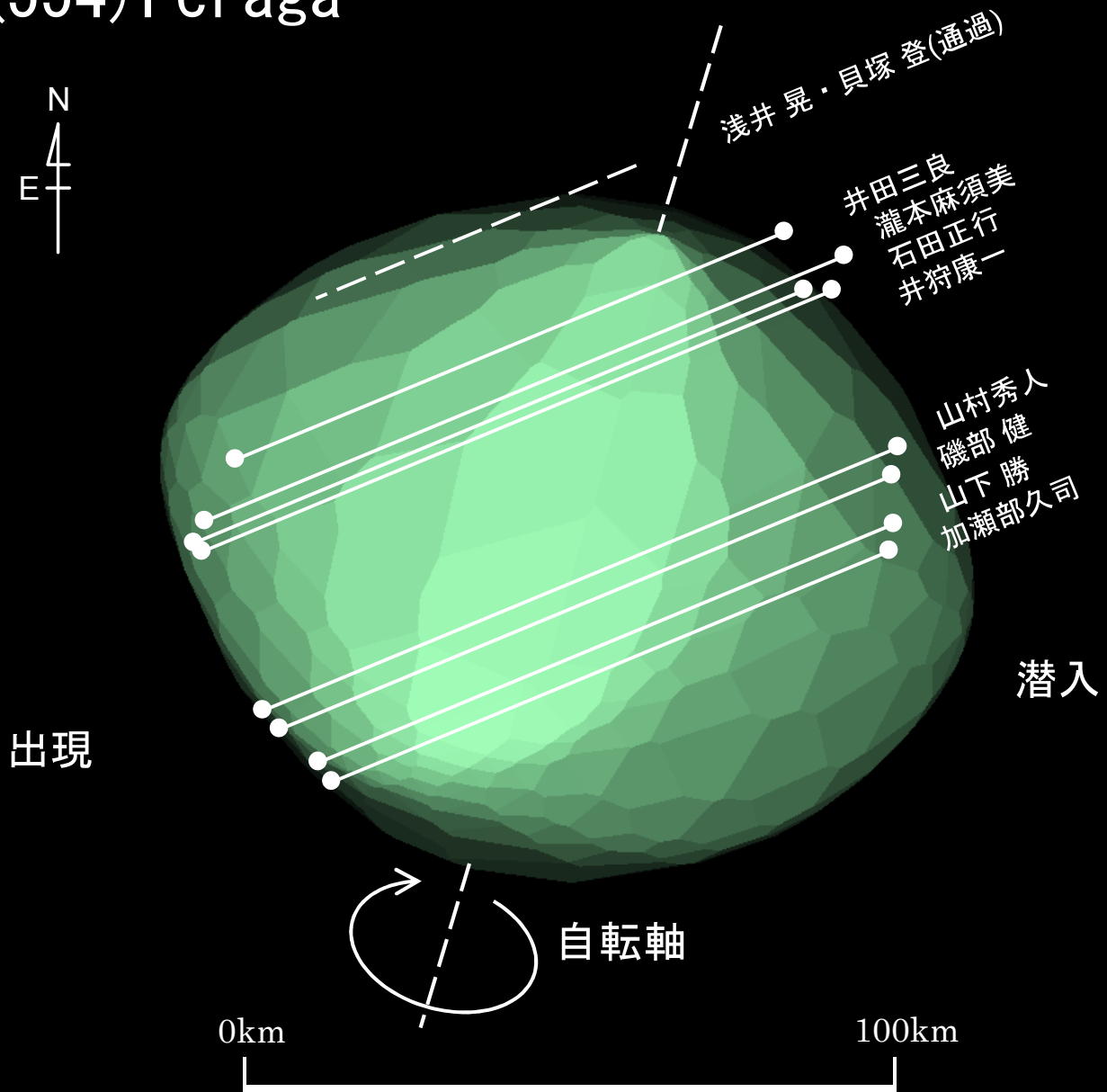


図5 (554) Peraga 2023年5月31日 12h16m28s UT DAMIT Model 6138 ($\lambda = 260$ 、 $\beta = -42$)
 $P = 163^\circ$ 、 $\beta_e = -41^\circ$ 、 $\lambda_e = -93^\circ$ 、Scale Factor 1: 91.1、 $k = 0.994$ 、 $B = 278.9^\circ$

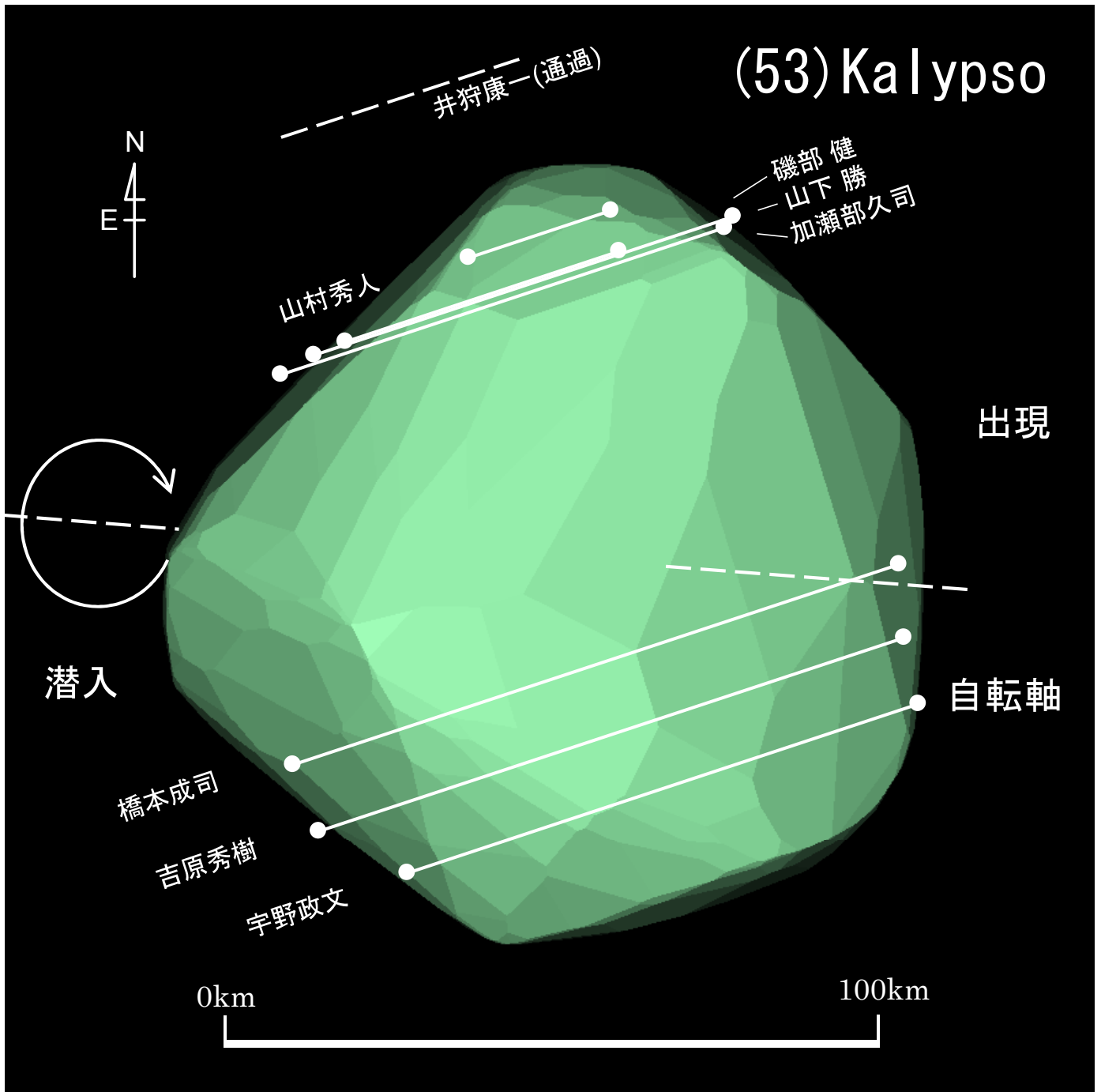


図6 (53) Kalypso 2023年5月31日 12h49m40s UT DAMIT Model 1733 ($\lambda = 168$ 、 $\beta = +12$)
 $P = 85^\circ$ 、 $\beta_e = -66^\circ$ 、 $\lambda_e = -249^\circ$ 、Scale Factor 1:82.3、 $k = 0.955$ 、 $B = 289.2^\circ$

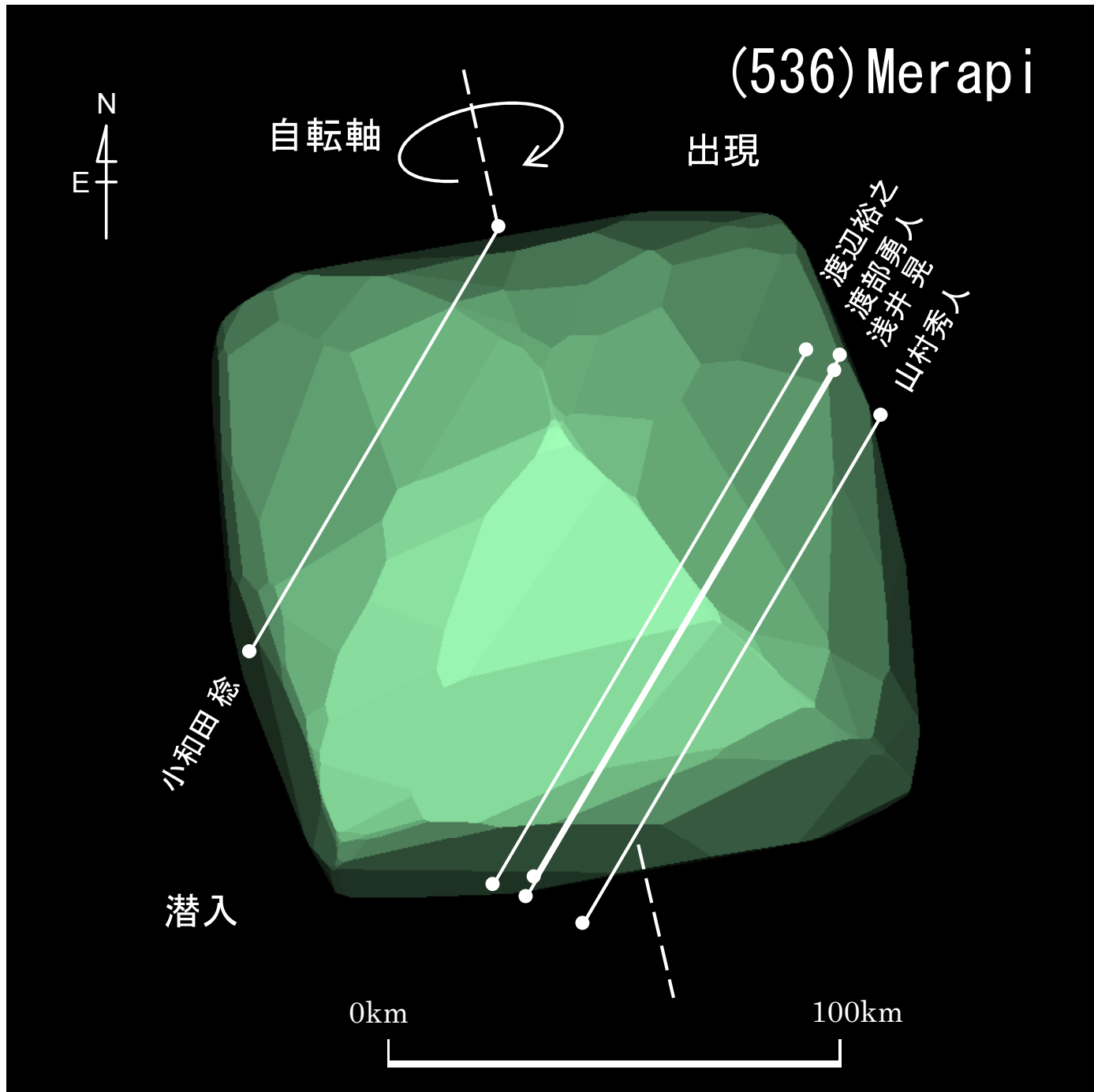


図7 (536) Merapi 2023年6月16日 17h56m18s UT DAMIT Model 5525 ($\lambda = 2$, $\beta = +31$)
 $P = 12^\circ$, $\beta_e = -25^\circ$, $\lambda_e = +253^\circ$, Scale Factor 1: 125.2, $k = 0.981$, $B = 79.9^\circ$

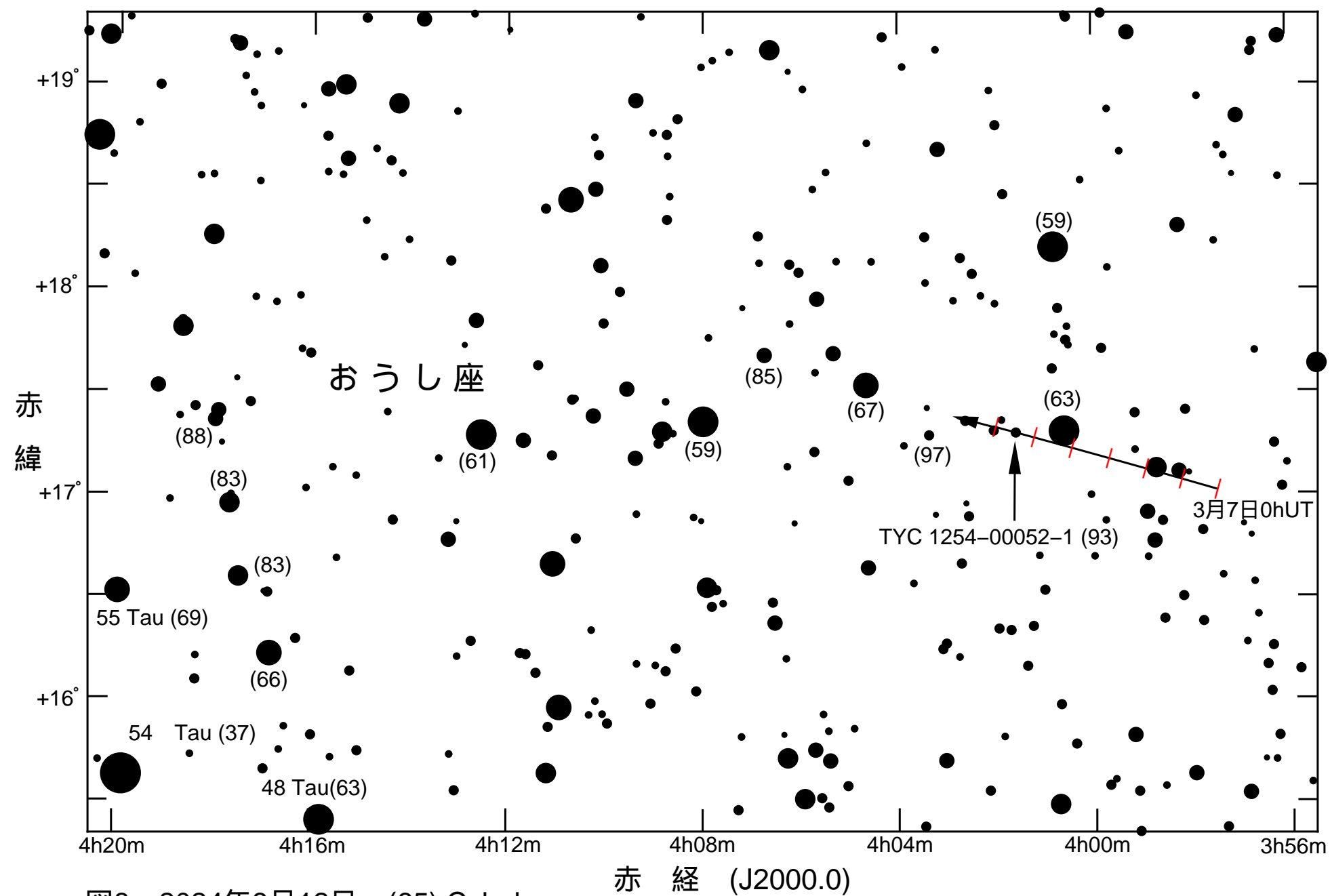


図8 2024年3月12日 (65) Cybele

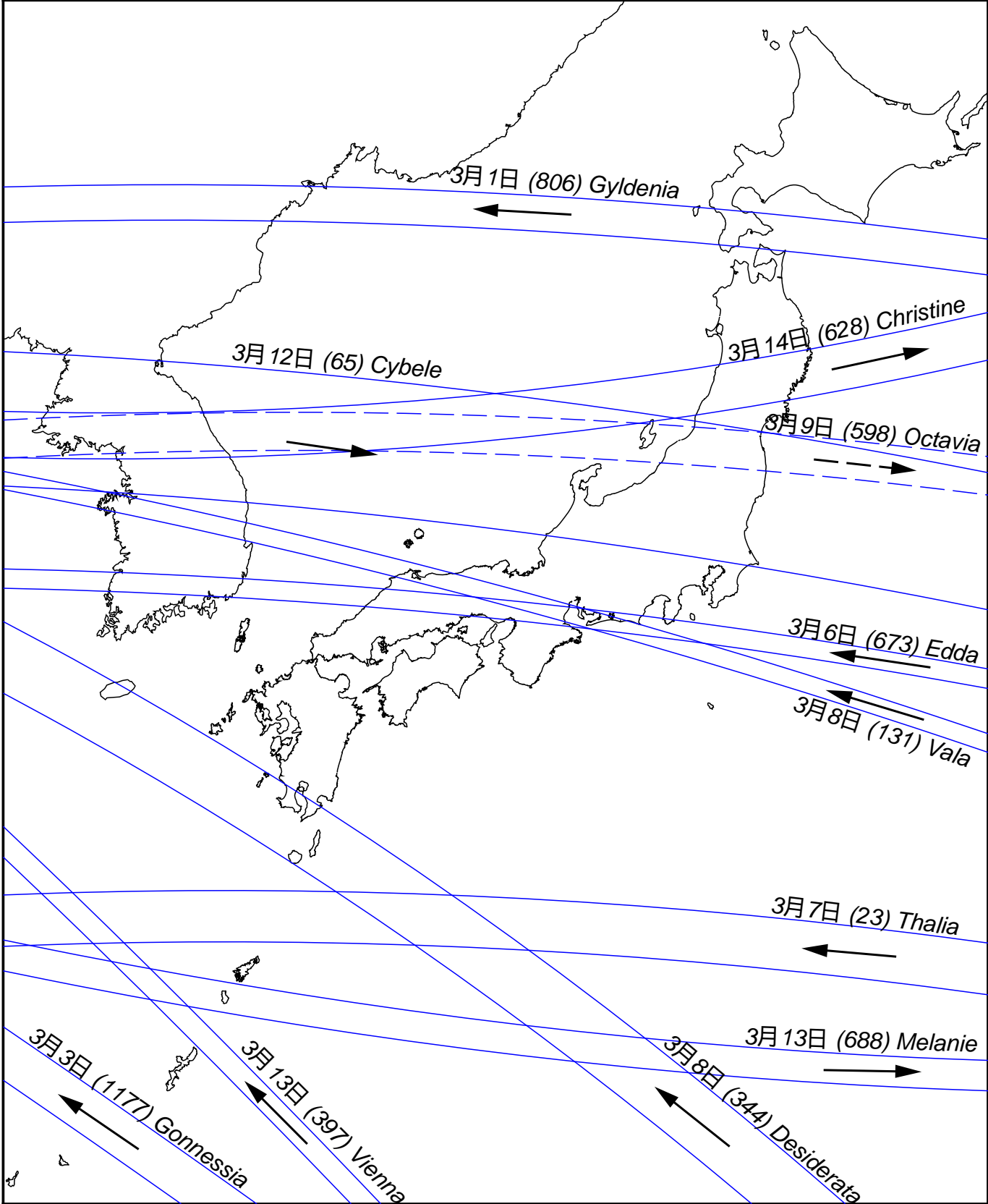


図9 小惑星による主な掩蔽帯経路 (S.Preston初期予報) 2024年3月 前半
 矢印は影の移動方向を示す

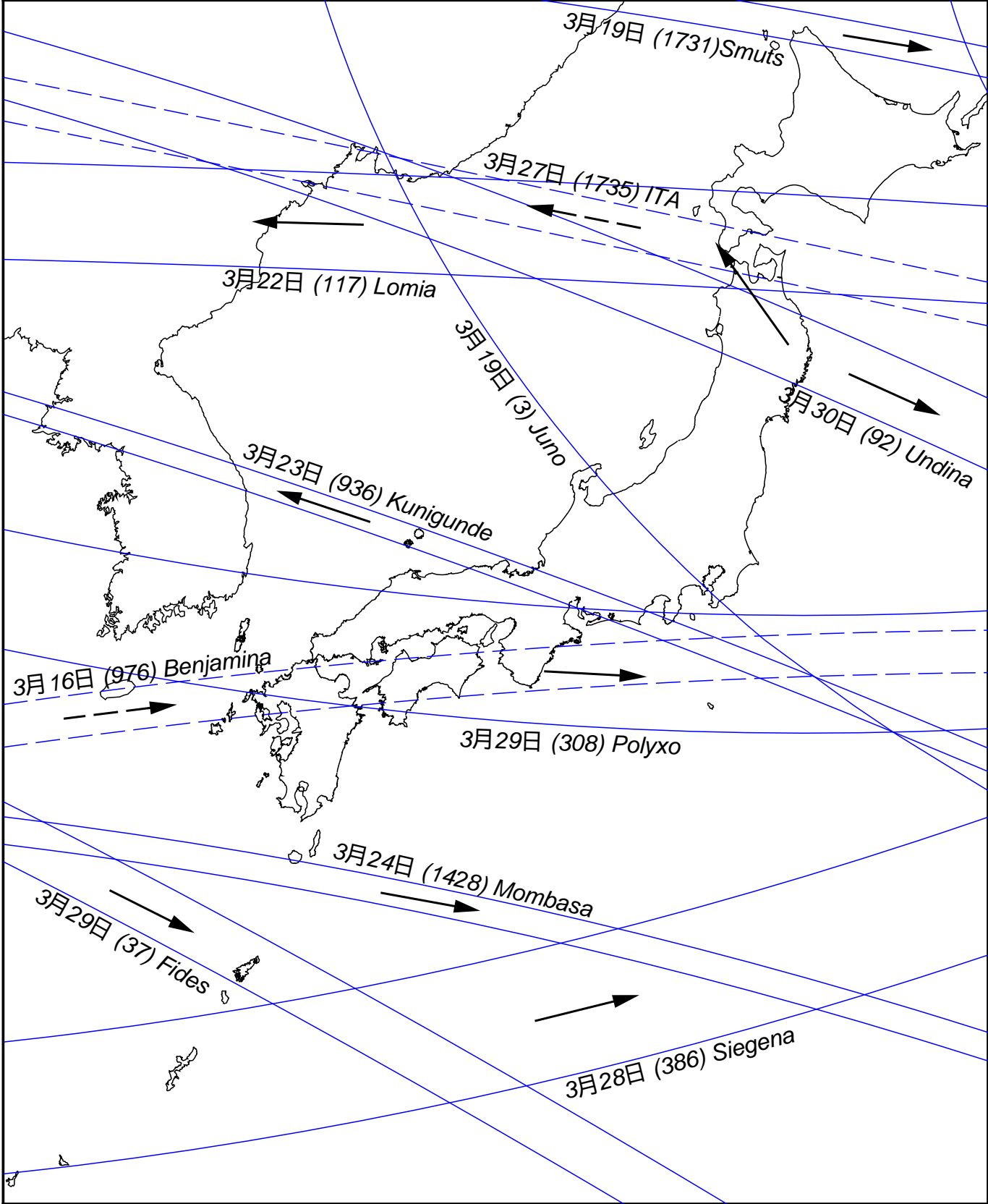


図10 小惑星による主な掩蔽帯経路 (S.Preston初期予報) 2024年3月 後半
 矢印は影の移動方向を示す